الأهمية النسبية لبعض المتغيرات الأنثروبومترية والكينماتيكية لأسلوبي الانتقال من سباحة الظهر إلى سباحة الصدر لسباحي المتنوع وعلاقتها بزمن الدوران بدلالة الشبكات العصبية الاصطناعية (ANN)

د. محمد عبدالعزيز عرفه محمد سالم مدرس بقسم الرياضات المائية . كلية علوم الرياضة للبنين . أبو قير . جامعة الإسكندرية

المقدمة ومشكلة البحث:

تُعد رياضة السباحة من الرياضات التي شهدت تطورًا ملحوظًا في الآونة الأخيرة، سواء في الأرقام القياسية المسجلة أو في قدرة السباحين على تطوير أساليب الأداء في البطولات العالمية والدورات الأولمبية، مما دفع العديد من المدربين إلى تطبيق مبادئ وقوانين الميكانيكا الحيوية على الأداء الحركي بطريقة تضمن حسن استغلال القدرات البشرية وتحقيق أعلى درجات الإنجاز، وهو ما أكده كل من حسام محي الأيوبي (٢٠٢١) وريوالد وسكوت روديو (2015) (١١٤:٢) في دراستيهما حول تطور الأداء في رياضة السباحة. (١١٤:٢) (١١٤:٢)

ويوضح سلاوسون واخرون al البيوميكانيك دورًا مهمًا في تحقيق الإنجاز الرياضي، إذ يتفق الكثير من علماء الرياضات التي يلعب فيها البيوميكانيك دورًا مهمًا في تحقيق الإنجاز الرياضي، إذ يتفق الكثير من علماء الرياضة على أن البيوميكانيك يلعب دورًا مهمًا في مجال تدريب السباحة عن طريق تحسين وتطوير التكنيك مما يؤدي الى تطوير المستويات الرقمية للسباحين. (٢٦)

ويشير فيصل العباشى ، على الدرديرى (٢٠٠٠) أن الدوران يلعب دوراً هاماً في تحقيق النتائج الجيدة للسباح عندما يمتلك السباح إمكانية جيدة تؤهله لأداء الدوران دون أن تهبط سرعة السباح أثناء الدوران ، وعليه يكون ضروريا تطوير مستوي الدوران بشكل تكون فيه سرعة السباح خلال الدوران مساويه أو أكبر من سرعته الاعتيادية مما ينبغي ضرورة الاستمراري في التدريب على أداء التكنيك الصحيح للدوران (٤: ٨٢).

ويؤكد كل من أبو العلا عبد الفتاح" (١٩٩٤م) ، بويل وآخرون Puel et al. (٢٠١٢) على أن مهارة الدوران تعتبر من العوامل الرئيسة المؤثرة على سرعة السباح في قطع مسافة السباق فهي تستغرق (١٠٠ – ٢٠٠٪) من الزمن الكلي لقطع سباقات المسافات القصيرة حيث تستغرق من (٢: ٣ ث) ، وتمثل أمراً هاماً في إعطاء قوة دافعة كبيرة لدى السباح ، حيث ساهم زمن الدوران في ترتيب الميداليات البرونزية في أولمبياد سيدني ٢٠٠٠ . (١: ٣٥) (٢٣)

ويؤكد أيضاً كل من بلانكسبى واخرون et al (1997) ، سلاوسون واخرون ويؤكد أيضاً كل من بلانكسبى واخرون يساهم في الأداء الكلي لسباقات المنتوع خاصة سباق ٢٠٠ مترمتوع، بنسبة ٢١٪ من إجمالي أداء السباق ويزداد تدريجياً مع زيادة مسافة السباق وبالتالي فإن فهم الخصائص البيوميكانيكية التي تمكن السباح من أداء أسلوب الدوران الأمثل مهم لتحسين أداء السباق

بشكل عام. وبرغم ذلك فإن الخصائص البيوميكانيكية للدوران من سباحة الظهر إلى سباحة الصدر بين المراحل العمرية المختلفة لا تزال غير واضحة. (٧)، (٢٦)

ويوضح كل من ليتل، ، بينجانوفاترا Lyttle, A., & Benjanuvatra, N وبيريرا ويوضح كل من ليتل، ، بينجانوفاترا (٢٠١١) أن الدوران مرحلة مركبة وتتسم بالتداخل الحركي والتعقيد لذا وآخرون – Pereira et al أن دراسة الطبيعة الفيزيائية للوسط المائي بشكل عام والمقاومة وضغط الماء بشكل خاص يلعب دورا هاما في تجنب الأوضاع الحركية الزائدة والخاطئة التي يمكن ان تعرض جسم السباح المقاومة أكبر أثناء الدوران مما يؤدي الى زيادة زمن الدوران ، ومن أجل ذلك يتوجب تحليل المهارة لعدة مراحل منفصلة ودراسة زمن كل مرحلة للوقوف على زاوية الحركة السليمة أثناء مرحلة الدوران (١١ : ١٨)، (١٨: ١١).

يوضح سلاوسون Slawson) أن الدوران في السباحة هي مهارة يتم تأديتها خلال السباقات التي تزيد مسافتها عن ٥٠ مترًا في السباحة التنافسية، كما يُعرَّف الدوران من سباحة الظهر الى سباحة الصدر على أنه الفترة التي يتجاوز فيها رأس السباح علامة ٥ أمتار قبل الدخول على الحائط ثم العودة إلى علامة ١٠ أمتار في المسافة التالية. (٢٦)

كما أشار شاينوك Chainok ان الدورانات في سباقات المتنوع تنقسم الى أربعة طرق Open turn, Somersault turn, Bucket المحدر هي (turn, Crossover turn) كما تعتبر من المهارات المعقدة للغاية حيث يتم إجراؤها في مستويات ومحاور مختلفة في أقل زمن ممكن. (١٠)

كما اكد شاينوك chainok (٢٠٢٢) انه يجب على السباحين الامتثال للقواعد القانونية لل FINA ، أى لمس الحائط على ظهورهم مع الحفاظ على الكتفين في اتجاه الحائط عند اللمس من ثم يجب أن تتجاوز الكتفان المحور الرأسي تجاه الصدر عند مغادرة الجدار ، كما يجب أن يتم وضع الانزلاق البطني أولاً من ثم عمل الأطراف العلوية لسباحة الصدر . وهناك ندرة في الدراسات التي تناولت دراسة تكنيك الدوران للانتقال من سباحة الظهر إلى سباحة الصدر وذلك من حيث دراسة الصلاحية العلمية والعملية للمتغيرات البيوميكانيكية الحاسمة التي تلعب دورًا هامًا في إكتساب السرعة لكل طريقة من طرق الدوران . (٩)

والذكاء الاصطناعي والشبكات العصبية من أهم التكنولوجيات الحديثة التي تطورت بشكل مذهل في العقود الأخيرة ، فهي تستخدم نموذج محاكاة لنظام العقل البشري للتعلم والتعرف على الأنماط وأخذ القرارات ومن أهم هذه الشبكات (الشبكات العصبية الإصطناعية "ANN") (٣٠)

يشير يورغن بيرل Jürgen Perl (٢٠١٧) أن الشبكات العصبية تعكس سلوك العقل البشري، وهذا يسمح لبرامج الحاسب الآلي بالتعرف على النماذج وحل المشاكل الشائعة في مجالات الذكاء الاصطناعي والتعلم الآلي والتعلم العميق. (١٠٧: ١٣)

ويؤكد ستبوارت تروست واخرون Stewart Trost et al توصله بالعالم الخارجي متمثلة في حواسه الخمس، والشبكات العصبية كذلك تحتاج لوحدات إدخال، ووحدات معالجة يتم فيها عمليات حسابية تضبط بها الأوزان و نحصل من خلالها على ردة الفعل المناسبة لكل مدخل من المدخلات للشبكة، فوحدات الإدخال تكون طبقة تسمى طبقة المدخلات، ووحدات المعالجة تكون طبقة المعالجة وهي المسئولة عن إخراج نواتج الشبكة، وبين هذه الطبقات هناك طبقة من الوصلات البينية التي تربط كل طبقة بالطبقة التي تليها والتي يتم فيها ضبط الأوزان الخاصة بكل وصلة بينية، وتحتوي الشبكة على طبقة واحدة فقط من وحدات الإدخال، ولكنها قد تحتوي على أكثر من طبقة من طبقات المعالجة. (١٨٠٣: ٢٧)

يشير يورغن بيرل وبيتر داوشر Jürgen Perl, Peter Dauscher) أن الشبكات العصبية تتميز بالعديد من الخصائص أهمها:-

- (۱) تعتمد على أساس رياضى قوى.
- (٢) تمثل إحدى تطبيقات تكنولوجيا التشغيل الذاتي للمعلومات التي تقوم على محاكاة العقل البشري.
 - (٣) تقبل أي نوع من البيانات الكمية أو النوعية.
 - (٤) لها القدرة على تخزين المعرفة المكتسبة من خلال الحالات التي يتم تشغيلها على الشبكة.
 - (٥) يمكن تطبيقها في العديد من المجالات العلمية المختلفة. (٤) ١٤-٩)

ومن خلال عمل الباحث في مجال تدريب السباحة لاحظ أن هناك تباين في تقنيات الدوران المستخدمة من قبل سباحى المتنوع للإنتقال من سباحة الظهر إلى الصدر ، حيث يستخدم بعضهم تقنية الدوران (Open Turn)، بينما يستخدم آخرون تقنية الدوران (Somersault Turn) ، مما دفع الباحث إلى محاولة إجراء هذه الدراسة كمحاولة منه للتعرف على بعض المتغيرات الإنتروبومترية وكذلك بعض المتغيرات الكينماتيكية لأسلوبى الدوران المستخدمين للإنتقال من سباحة الظهر إلى سباحة الصدر وعلاقتها بزمن أداء الدوران والذي بدوره يؤثر في زمن السباق الكلى لسباحى المتنوع ، وكذلك التعرف على ترتيب الأهمية النسبية لكل من المتغيرات الأنثروبومترية والمتغيرات الكينماتيكية لكلا الأسلوبين على ترتيب الأهمية النسبية لكل من المتغيرات الأنثروبومترية والمتغيرات التي يكون لها تأثير مباشر وكبير على سرعة الدوران وبالتالي نقليل زمن الدوران وزمن السباق الكلى لسباحي الفردي المتنوع .

مجلة تطبيقات علوم الرياضة

هدف البحث:

يهدف هذا البحث إلى التعرف على الأهمية النسبية لبعض المتغيرات الإنثروبومترية والكينماتيكية لأسلوبي الإنتقال من سباحة الظهر إلى سباحة الصدر لسباحي المتتوع وعلاقتها بزمن الدوران وذلك بدلالة الشبكات العصبية الإصطناعية (ANN).من خلال:

- ١- التعرف على طبيعة العلاقه بين بعض المتغيرات الانثروبومتريه والمتغيرات الكينماتيكية وزمن الدوران الكلى لأسلوب الدوران (open turn)
- ٢- التعرف على طبيعة العلاقه بين بعض المتغيرات الانثروبومتريه والمتغيرات الكينماتيكية وزمن الدوران الكلى لأسلوب الدوران (somersault turn)
- ٣- التوصيل التي الاهمية النسبية لبعض المتغيرات الانثروبومترية المتغيرات الكينماتيكية لللهاء المهارى لدوران (open turn) بدلالة الشبكات العصبية الإصطناعية (ANN)
- ٤- التوصيل الي الاهميه النسبيه لبعض المتغيرات الانثروبومتريه والمتغيرات الكينماتيكية لللَّذاء المهارى لدوران (somersault turn) بدلالة الشبكات العصبية الإصطناعية (ANN)

تساؤلات البحث:

- ١- هل يوجد علاقة ذات دلالة إحصائية بين المتغيرات الكينماتيكية والأداء المهاري لدوران (open (turn
- ٢- هـل يوجـد علاقـة ذات دلالـة إحصائية بـين المتغيـرات الكينماتيكيـة والأداء المهـاري لـدوران (somersault turn)
- ٣- ما هي درجة الأهمية النسبية للمتغيرات الكينماتيكية في الأداء المهاري لدوران (open) بدلالة الشبكات العصبية الإصطناعية (ANN).
- ٤ ما هي درجة الأهمية النسبية للمتغيرات الكينماتيكية في الأداء المهاري لدوران (somer) بدلالة الشبكات العصبية الإصطناعية (ANN).

إجراءات الدراسة:

منهج الدراسة:

في ضوء متطلبات الدراسة الحالية قام الباحث بإستخدام المنهج الوصفي بالأسلوب المسحى القائم على التحليل البيوميكانيكي لمناسبه لطبيعة البحث.

مجالات البحث: -

المجال البشرى:

د. محمد عبد العزيز عرفة

مجتمع البحث : تم اختيار سباحي نادى سموحة الناشئين المرحلة السنية (١٣ – ١٤ سنة) مواليد ٢٠١٠ / ٢٠١١ ليشكلوا مجتمع البحث.

عينة البحث: تم اختيار عينة الدراسة بالطريقة العمدية من سباحي المنتوع المرحلة السنية (١٣ -١٤ سنة) من نادى سموحة الرياضي الاجتماعي وقوامها ١٤ سباح منهم (٤ سباحين) عينة الدراسة الإستطلاعية ، (١٠ سباحين) للدراسة الأساسية ممن تنطبق عليهم الشروط التالية :-

- أن يكونوا من السباحين المسجلين بالإتحاد المصرى للسباحة ومشاركين بصورة منتظمة في البطولات التي ينظمها الإتحاد.
- ان تكون العينة من السباحين غير منقطعين عن التدريب لفتره طويله لعدم الاخلال بمتغيرات البحث البيوميكانيكي.
 - التمكن التام من أداء طريقتي الدوران (موضوع الدراسة).
 - ان يكون السباح صاحب مستوى رقمي متميز بين اقرانه بالنادي و ببطولة الجمهورية للسباحة.
 - المجالي الزمني: أجري هذا البحث خلال الموسم التدريبي ٢٠٢٣ / ٢٠٢٤
 - المجالي المكاني: حمام السباحة الأولمبي بنادي سموحه الرياضي

القياسات المستخدمة في البحث:-

القياسات الأساسية:

- قياس الوزن الأقرب كيلوجرام
- قياس الطول الكلى الأقرب سنتيمتر
- قياس اطوال الأطراف و الوصلات لأقرب سنتيمتر

القياسات البيوميكانيكية:

بعد الإنتهاء من إجراءات التصوير والتحليل البيوميكانيكي تم استخراج المتغيرات الكينماتيكية الاتبة:

(زاوية الكاحل لحظة اقصىي تخميد - زاوية الركبة لحظة اقصىي تخميد - زاوية الفخذ لحظة اقصىي تخميد - زاوية الجذع من الارض لحظة اقصى تخميد - زمن مرحلة الدفع التركيب الزمني من اقصى تخميد حتى المد الكامل - زاوية الكاحل لحظة اقصى مد - زاوية الركبة لحظة اقصى مد - زاوية الفخذ لحظة اقصبي مد - زاوية الجذع من الارض لحظة اقصبي مد - مسافة المد - سرعة مرحلة المد - محصلة سرعة مركز ثقل الجسم لحظة ترك الحائط - محصلة كمية الحركة لمركذ ثقل الجسم لحظة ترك الحائط - اقصى قوة دفع من ترك الحائط)

الأدوات و الأجهزة المستخدمة في البحث: -

الأدوات المستخدمة في القياسات الأساسية :-

- ميزان طبي لقياس الطول

د. محمد عبد العزيز عرفة

- رستامير لقياس الطول الكلي

مجلة تطبيقات علوم الرياضة

- أنثروبوميتر لقياس أطوال الوصلات

الأدوات والأجهزة المستخدمة في التصوير والتحليل:-

- عدد (۱) کامیرا تصویر فیدیو طراز $150 \text{ AS} = 10^{-2}$ کادر (1) کادر (1) کادر (1)
 - عدد (١) حامل كاميرا ثلاثي مثبت على حافة الحمام داخل الماء.
 - عدد (۱) حامل كاميرا مائي.
 - عدد (٣) بطاریات شحن للکامیرا.
 - شريط قياس.
 - علامات ضابطة.
 - مسطرة بطول (٢ متر) لتحديد مقياس الرسم.
 - استمارة تسجيل قياسات اللاعبين.
 - جهاز Laptop fujitsu وملحقاته.
 - برنامج Defishr لمعالجة الفيديو.
 - برنامج Camtasia-studio-8.6.0 نقطيع الفيديو.
 - برنامج 4.25 kinovea للتحليل الحركي.
 - ميزان طبي معايير لقياس الوزن.
 - أنثروبوميتر لقياس الطول الكلي.



شكل (١) يوضح أجهزة وأدوات التصوير داخل الماء

جدول رقم (١) التوصيف الإحصائي في المتغيرات الاساسية والأطوال قيد البحث لمجموعة البحث ن = ١٠

معامل	معامل	الوسيط	الإنحراف	المتوسط	وحدة	الدلالات الإحصائية
التفلطح	الإلتواء	الومليك	المعيارى	الحسابي	القياس	المتغيرات
-1.21	0.50	45.00	11.53	47.30	کجم	الوزن
-0.11	0.50	163.00	12.69	161.40	سم	الطول
-2.57	0.00	13.50	0.53	13.50	سنة	العمر
2.42	0.09	31.00	3.51	31.10	سم	العضد
-0.66	0.48	26.00	2.99	26.50	سم	الساعد
-0.92	0.29	44.50	4.93	44.60	سم	الفخذ
0.81	0.61	41.00	3.98	40.90	سم	الساق

يتضح من الجدول رقم (١) والخاص بالتوصيف الإحصائى لعينة البحث في المتغيرات الأساسية والمحيطات قيد البحث أن البيانات الخاصة بعينة البحث الكلية معتدلة وغير مشتتة وتتسم بالتوزيع الطبيعي للعينة ، حيث تتراوح قيم معامل الالتواء فيها ما بين (٠٠٠٠ إلى ٥٠٠٠) وهذه القيم تقترب من الصفر ، مما يؤكد اعتدالية البيانات الخاصة بعينة البحث.

جدول رقم (٢)

التوصيف الإحصائي في المتغيرات الكينماتيكية قيد البحث لدوران الopen turn لمجموعة البحث ن

	•	<i>J</i>	_			
معامل التفلطح	معامل الإلتواء	الوسيط	الإنحراف المعياري	المتوسط الحسابي	وحدة القياس	الدلالات الإحصائية المتغيرات
0.68	0.27	1.16	0.19	1.21	ثاثية	زمن الدوران
-0.22	0.67	0.43	0.14	0.47	ثانية	زمن مرحلة الدفع التركيب الزمني من اقصي تخميد حتى المد الكامل
-1.11	0.21	83.00	12.79	85.00	درجة	زاوية الكاحل لحظة اقصي تخميد
1.78	0.22	36.50	17.47	37.80	درجة	زاوية الركبة لحظة اقصي تخميد
-1.55	-0.45	88.50	20.13	80.80	درجة	زاوية الفخذ لحظة اقصي تخميد
-0.08	-0.42	20.00	6.75	18.60	درجة	زاوية الجذع من الارض لحظة اقصي تخميد
-0.64	0.37	157.00	8.03	156.90	درجة	زاوية الكاحل لحظة اقصي مد
-1.10	0.86	157.50	9.45	162.90	درجة	زاوية الركبة لحظة اقصي مد
-0.43	-0.54	163.00	4.76	162.70	درجة	زاوية الفخذ لحظة اقصي مد
-1.38	0.35	12.00	3.70	12.90	درجة	زاوية الجذع من الارض لحظة اقصي مد
0.44	0.78	10.50	3.17	10.50	درجة	زاوية ميل الجذع لحظة الانطلاق من الافقي
-1.40	0.25	48.50	11.55	48.10	کجم	كتلة اللاعب
1.52	0.58	0.66	0.12	0.66	متر	مسافة المد
-0.42	-0.54	1.55	0.35	1.50	متر/ثانية	سرعة مرحلة المد
0.23	0.81	2.77	0.61	2.93	متر/ثانية	محصلة سرعة مركز ثقل الجسم لحظة ترك الحائط
-0.43	0.48	66.69	26.21	72.65	كجم متر/ثانية	محصلة كمية الحركة لمركذ ثقل الجسم لحظة ترك الحائط
-1.60	-0.28	5.60	0.77	5.51	متر/ثانية تربيع	اقصي تسارع من دفع الحائط
-1.75	-0.32	0.55	0.10	0.52	ثانية	زمن الوصول لاقصي تسارع
-0.71	0.58	238.92	80.04	266.30	نيوتن	اقصي قوة دفع من ترك الحائط
2.42	0.72	1.73	0.28	1.68	ثاثية	زمن الدوران الكلي open turn

يتضح من الجدول رقم (٢) والخاص بالتوصيف الإحصائى لعينة البحث في المتغيرات قيد البحث لدوران الله معتدلة وغير مشتتة وتتسم بالتوزيع الطبيعي الله معتدلة وغير مشتتة وتتسم بالتوزيع الطبيعي للعينة ، حيث تتراوح قيم معامل الالتواء فيها ما بين (-٥٤٠ إلى ٨٦٠) وهذه القيم تقترب من الصفر ، مما يؤكد اعتدالية البيانات الخاصة بعينة البحث.

الدراسة الاستطلاعية:

تم إجراء الدراسة الإستطلاعية بنادى سموحة الرياضي الاجتماعي.

الهدف من الدراسة الاستطلاعية:

- تحديد أنسب أماكن لوضع الكاميرا أثناء إجراء التصوير بما يسمح بالحصول على تصوير واضح.
 - تحديد بعد وارتفاع عدسة الكاميرا عن منتصف مجال الحركة المستهدف تصويرها.
 - التأكد من سلامة أدوات وأجهزة التصوير المستخدمة.
 - التعرف على بعض المشكلات التي قد تعيق عملية التصوير.

إجراءات الدراسة الاستطلاعية:

- أجريت الدراسة يوم ٢٠٢٣/٦/١٣ <u>.</u>
- تم التواجد بحمام سباحة نادى سموحة الرياضى الاجتماعى مع وجود عدد ١ كاميرا فيديو لتحديد أماكن تثبيتها أثناء إجراء التصوير.
 - تم اجراء الدراسة على عينة قوامها ٤ سباحين.

نتائج الدراسة:

- تم تحدید مکان تثبیت الکامیرا داخل الحمام بحیث تکون الکامیرا یمین الحارة رقم ٥.
- الكامير اعلي بعد ٤ متر من حائط الدوران . ومجال تصوير ها ٧ متر وبعد الكامير اعن منتصف مجال الحركة ٥ متر .
- تم تحديد إرتفاع عدسة الكاميرا عن مستوى سطح الأرض ١٠٢٠ م بحيث تكون عمودية على منتصف مجال الحركة الرأسي لجميع السباحين.
- تم تحدید عمق عدسة الكامیرا عن مستوى سطح الماء ١م بحیث تكون عمودیة على منتصف مجال الحركة الرأسي لجمیع السباح.

المعالجات الاحصائية

تم اجراء المعالجات الاحصائية باستخدام برنامج SPSS Version 25 وذلك عند مستوى ثقة (٠٠٩٠) يقابلها مستوى دلالة (احتمالية خطأ) ٠٠٠٠ وهي كالتالي :

- المتوسط الحسابي. Mean
- الانحراف المعياري Stander Deviation
 - الوسيط Median
 - معامل الالتواء. Skewness
 - معامل التفلطح. Kurtosis
 - معامل ارتباط بيرسون.
- الشبكات العصبية الاصطناعية ذات الثلاث طبقات والتغذية الأمامية بطبقة واحدة مخفية وخلية خلفية واحده مع تحديد نسبة ٢٠٠٠% للتدريب ٢٠٠٠% للاختبار للمتغيرات الانثربومترية و نسبة Artificial Neural للتحريب ١٠٠٠% للاختبار للمتغيرات الكينماتيكية قيد البجث Networks بزمن الدوران الكلى open turn
- الشبكات العصبية الاصطناعية ذات الثلاث طبقات والتغذية الأمامية بطبقة واحدة مخفية وخلية خلفية واحده مع تحديد نسبة ٩٠٠٠% للتدريب ١٠٠٠% للاختبار للمتغيرات الانثربومترية و نسبة ٢٠٠٠% للتدريب ٤٠٠٠% للاختبار للمتغيرات الكينماتيكية قيد البجث Artificial Neural بزمن الدوران الكلي somer turn .

عرض ومناقشة النتائج

جدول رقم (٣) العلاقة بين المتغيرات الانثربومترية قيد البحث لدوران ال open turn و زمن الدوران الكلي

ي open turn	زمن الدوران الكل	المتغير ات
مستوى الدلالة	معامل الارتباط	المتغيرات
0.149	-0.492	الوزن
0.331	-0.344	الطول
0.111	-0.536	العمر
0.920	-0.037	العضد
0.243	-0.407	الساعد
0.392	-0.305	الفخذ
0.387	-0.308	الساق

^{*}معنوی عند مستوی ۰.۰۰ **معنوی عند مستوی ۰.۰۱

يتضح من الجدول رقم (٣) الخاص بالعلاقة بين المتغيرات الانثربومترية قيد البحث لدوران ال open يتضح من الدوران الكلي عدم وجود علاقة ذات دلالة إحصائية بين المتغيرات الانثربومترية قيد البحث لدوران ال open و زمن الدوران الكلي open turn حيث تراوحت قيمة (ر) المحسوبة ما بين (١٠٠٠، وهذه القيم أقل من قيمة (ر) الجدولية عند مستوى ٥٠٠٠ وعند مستوى ١٠٠٠.

جدول رقم (٤) العلاقة بين المتغيرات الكينماتيكية قيد البحث لدوران ال open turn و زمن الدوران الكلي

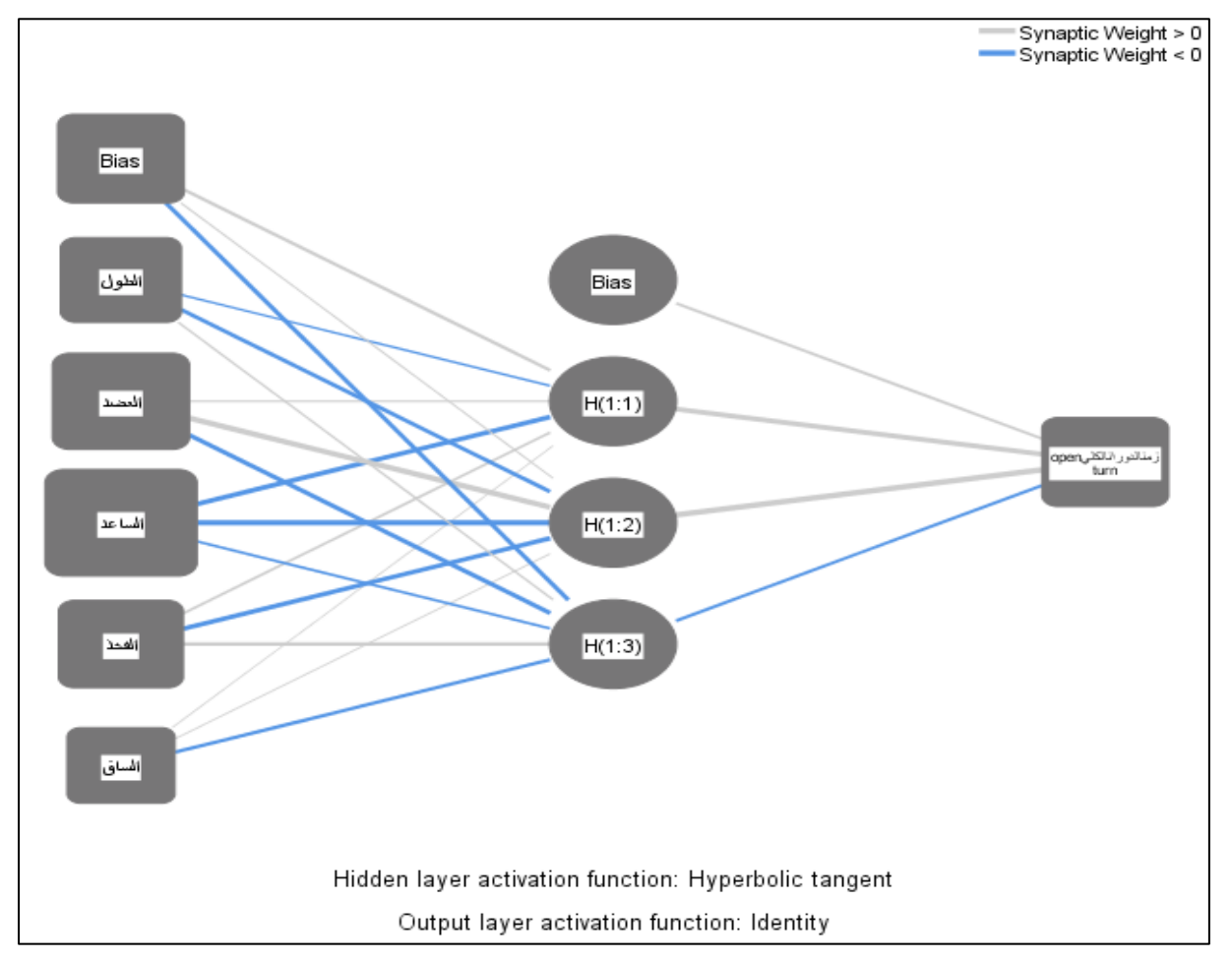
	زمن الدوران الكلي	المتغير ات
مستوى الدلالة		المالين المالي
0.000	0.901**	زمن الدوران
0.004	0.819**	زمن مرحلة الدفع التركيب الزمني من اقصي تخميد حتي المد الكامل
0.739	0.121	زاوية الكاحل لحظة اقصي تخميد
0.279	-0.380	زاوية الركبة لحظة اقصىي تخميد
0.159	-0.481	زاوية الفخذ لحظة اقصي تخميد
0.174	-0.467	زاوية الجذع من الارض لحظة اقصي تخميد
0.618	0.181	زاوية الكاحل لحظة اقصىي مد
0.884	-0.053	زاوية الركبة لحظة اقصىي مد
0.332	0.343	زاوية الفخذ لحظة اقصي مد
0.610	0.184	زاوية الجذع من الارض لحظة اقصي مد
0.850	0.069	زاوية ميل الجذع لحظة الانطلاق من الافقي
0.122	-0.522	كتلة اللاعب
0.537	0.222	مسافة المد
0.036	-0.665*	سرعة مرحلة المد
0.958	0.019	محصلة سرعة مركز ثقل الجسم لحظة ترك الحائط
0.011	-0.759*	محصلة كمية الحركة لمركز ثقل الجسم لحظة ترك الحائط
0.656	-0.161	اقصي تسارع من دفع الحائط
0.087	0.568	زمن الوصول لاقصي تسارع
0.134	-0.508	اقصىي قوة دفع من ترك الحائط

^{*}معنوی عند مستوی ۰.۰۰ **معنوی عند مستوی ۰.۰۱

د. محمد عبد العزيز عرفة

يتضح من الجدول رقم (٤) الخاص بالعلاقة بين المتغيرات الكينماتيكية قيد البحث لدوران ال open و زمن الدوران الكلي وجود علاقة ذات دلالة إحصائية بين بعض المتغيرات الكينماتيكية قيد البحث لدوران ال open turn و زمن الدوران الكلي حيث تراوحت قيمة (ر) المحسوبة ما بين (١٠٠٠، وهذه القيم أكبر من قيمة (ر) الجدولية عند مستوى ٥٠٠٠ وعند مستوى ١٠٠٠ حيث كانت على النحو التالى:-

- وجود علاقة عكسية بين كل من متغير (سرعة مرحلة المد ، محصلة كمية الحركة لمركز ثقل الجسم لحظة ترك الحائط) و زمن الدوران الكلي open turn
- وجود علاقة طردية بين كل من متغير (زمن الدوران ، زمن مرحلة الدفع التركيب الزمني من اقصي تخميد حتى المد الكامل) و زمن الدوران الكلي open turn

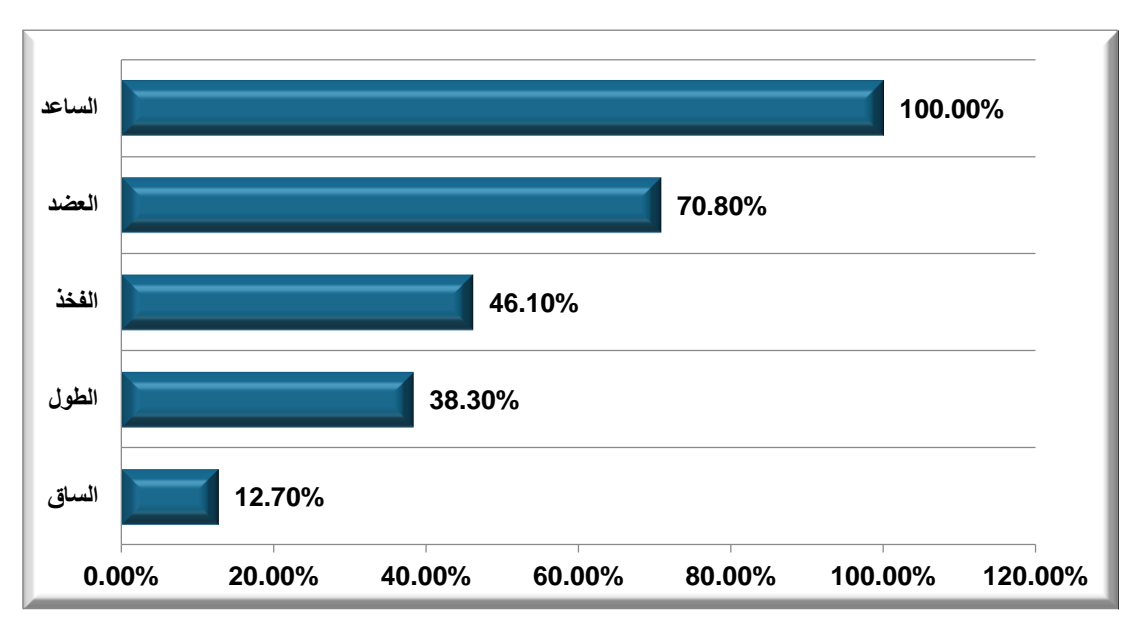


- عرض النتائج الخاصة بالشبكة العصبية الاصطناعية (ANN) الناتجة من تفاعل المتغيرات الانثربومترية قيد البحث ذات التأثير في زمن الدوران الكلي open turn شكل رقم (٢) يوضح شكل الشبكة العصبية الناتج من تفاعل المتغيرات الانثربومترية قيد البحث ذات التأثير في زمن open turn الدوران الكلي

جدول (٥) المتغيرات الإنثربومترية المستقلة الدالة إحصائيا مرتبة تنازليا وفقا لدرجة ونسبة الأهمية

الأهمية النسبية% (نسبة المساهمة)	درجة الأهمية	المتغيرات المستقلة الدالة إحصائيا	۴
100.0%	0.373	الساعد	١
70.8%	0.264	العضد	۲
46.1%	0.172	الفخذ	٣
38.3%	0.143	الطول	٤
12.7%	0.048	الساق	٥

يتضح من جدول (٥) والشكل البيانى (٣) الخاص بنتائج تحليل الشبكة العصبية الاصطناعية – التحليل متعدد الطبقات وجود ٥ متغيرات ذو ارتباط بزمن الدوران الكلي open turn وهذه المتغيرات مرتبة تنازليا حسب أهميتها ، حيث جاء متغير الساعد في الترتيب الأول لدرجة الأهمية بنسبة أهمية بلغت ١٢.٧%.



شكل رقم (٣) يبين ترتيب المتغيرات المستقلة الدالة إحصائيا وفقا لنسبة الأهمية

تشير نتائج تحليل الشبكة العصبية الاصطناعية إلى أن هناك خمسة متغيرات مستقلة أسهمت بدرجات متفاوتة في تفسير زمن الدوران الكلي(open turn)، وهي مرتبة تنازليًا كالآتي: الساعد، العضد، الفخذ، الطول، وأخيرًا الساق. وتكشف هذه النتائج عن أولوية واضحة للعضلات الطرفية العلوية مقارنة بالطرف السفلي في تحديد كفاءة الدوران.

مجلة تطبيقات علوم الرياضة

أولًا: الساعد والعضد

جاء متغير الساعد في المرتبة الأولى بنسبة مساهمة بلغت (١٠٠%)، يليه العضد بنسبة (٧٠٠٨%)، مما يؤكد أن الأداء الحركي في الدوران يعتمد بدرجة أساسية على طول الذراعين، خاصة في مراحل السحب والدفع تحت الماء ،وهذا يتفق مع الدراسات الحديثة التي تشير إلى أن الأطوال الجسمية والمتغيرات الأنثروبومترية تلعب دورًا مهمًا في تفسير كفاءة الدوران في السباحة ، وما تظهره النتائج السابقة من أن أطوال الأطراف العلوية (الساعد والعضد) لها تأثير أكبر على سرعة الانطلاق والدوران مقارنة بالأطراف السفلية والطول الكلي للجسم ، حيث أن طول الأطراف العلوية يمنحها ذراع عزم أطول أثناء الدفع تحت الماء، مما يسهم في تحسين سرعة الانتقال بعد ملامسة الجدار.

حيث أظهرت دراسة ألقيس وآخرون .Alves et al أن طول الذراعين يرتبط بشكل إيجابي بأداء السباحين الشباب، بينما أكدت دراسة بيوليك وآخرون Peulić et al. أن الأطراف العلوية الطويلة تساعد على تحسين فعالية الانطلاق من الحائط وتحقيق انتقال جيد في مراحل السحب والدفع. (٥) (٢١)

ثانيًا: الفخذ

احتل الفخذ المرتبة الثالثة بنسبة (٤٦.١%)، وهو ما يعكس دوره المهم كعامل مساعد في تثبيت وضعية الجسم وتوليد عزم إضافي للدوران ، وعلى الرغم من أن إسهامه أقل مقارنة بالطرف العلوي، إلا أنه يظل مكملاً أساسياً للأداء ، حيث تلعب الأطراف السفلية دورًا داعمًا في الحفاظ على الثبات والانسيابية بعد الدوران ، وهذا ما تؤكده دراسة لات وآخرون .Lätt et al التي تشير إلى أن العوامل الأنثروبومترية مثل طول الفخذ والساق ترتبط بتحكم أفضل بزوايا المفصل أثناء الارتكاز، مما يقلل زمن الدوران ويحسن من الاستقرار الحركي لدى السباحين اليافعين. كما أشارت دراسة فيوري وآخرون Fiori et al. (2022) إلى أن تطوير القوة والطول في الأطراف السفلية يسهم في تحسين التوافق الحركي بعد ملامسة الحائط ، وهذا ايضاً ما توضحه دراسة كاينر .Keiner et al حيث تشير إلى أن القوة السفليةSquat strength)) ترتبط بسرعة الانطلاقة والاستقرار في الماء، وان كانت بدرجة أقل من الطرف العلوي. (١٧) (١١) (١٥)

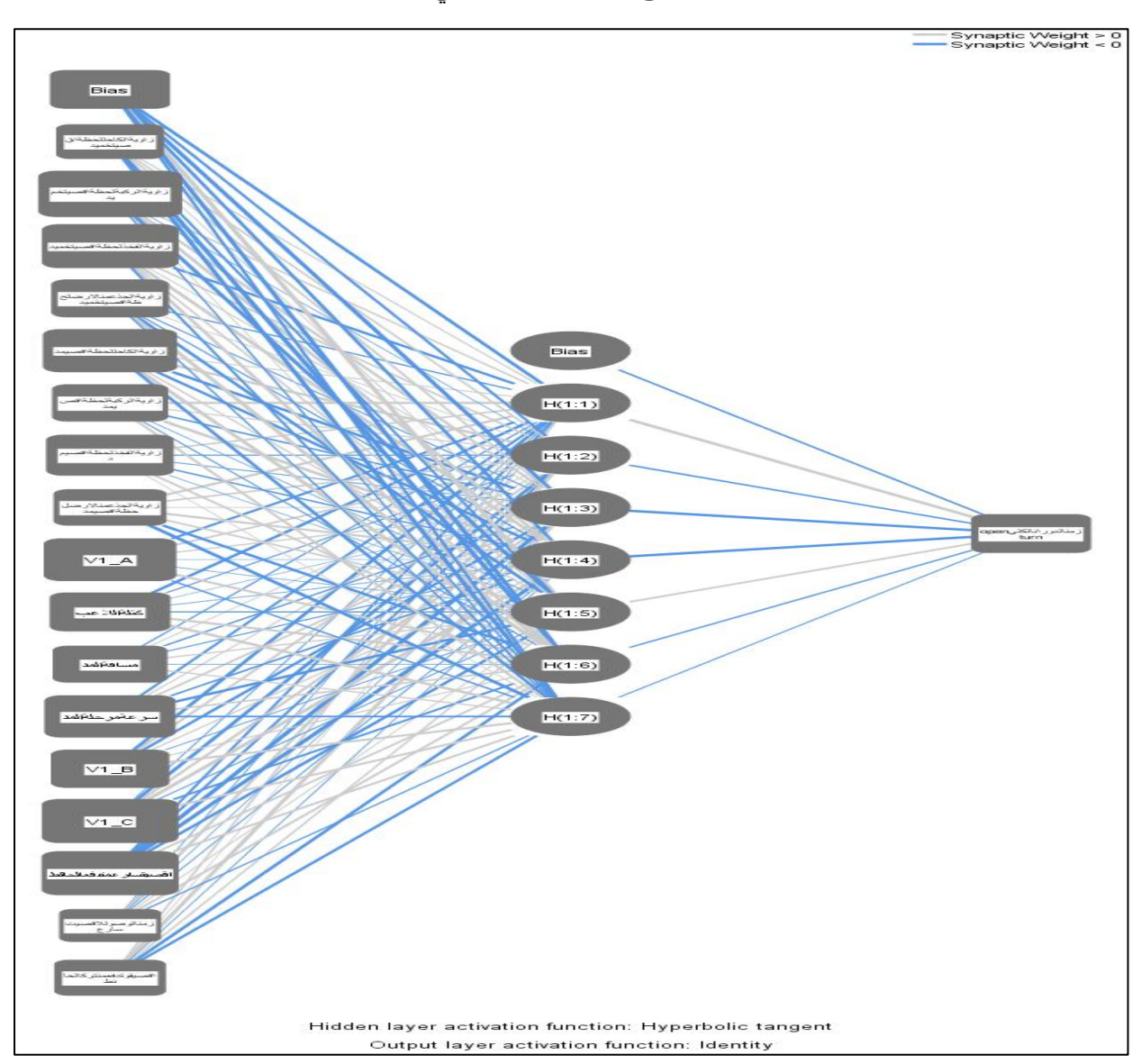
ثالثًا: الطول الكلى للجسم

جاء الطول في المرتبة الرابعة بنسبة (٣٨.٣%) مما يعكس الأثر البيوميكانيكي للأبعاد الجسمية على الأداء، فالطول الأكبر قد يوفر ذراع عزم أطول يساعد في زيادة الدفع، لكنه في الوقت ذاته قد يسبب تحديات في التحكم بالزمن الحركي للدوران ، حيث يعتبر الطول الكلى للجسم عاملًا مؤثرًا في تحقيق الانسيابية وزاوية الدفع أثناء الدوران، لكنه قد يتطلب تدريبًا مخصصًا لاستغلاله بشكل فعال، حيث أكدت دراسة جونزاليس-رافي وآخرون .González-Ravé et al أن الطول الكلي يرتبط بتحسين الأداء في السباقات القصيرة، حيث يوفر مزايا بيوميكانيكية للسباحين ذوي الأطوال الكبيرة. (١٢)

رايعًا: الساق

جاء متغير الساق في المرتبة الأخيرة بنسبة (١٢.٧%) فقط، وهو ما يؤكد أن دورها في الدوران أقل نسبيًا مقارنة بالذراعين والفخذين. وغالبًا يقتصر إسهام الساقين على الحفاظ على الوضع الانسيابي بعد الدوران والمساعدة في الاستقرار، بينما تظل القوة الأساسية ناتجة من الذراعين، وهذا ما أكدته نتائج سابوترا وبيسمار — Saputra & Bismar (٢٠٢٠) التي تشير أن مساهمة الساقين في الدفع لا تتجاوز ثلث القوة الكلية، وهو ما يفسر ضعف أهميتها النسبية في نتائج التحليل الحالي. (٢٥)

- عرض النتائج الخاصة بالشبكة العصبية الاصطناعية (ANN) الناتجة من تفاعل المتغيرات الكينماتيكية قيد البحث ذات التأثير في زمن الدوران الكلي open turn



يوضح شكل (٤) الشبكة العصبية الناتج من تفاعل المتغيرات الكينماتيكية قيد البحث ذات التأثير في زمن الدوران الكلي open turn

جدول (٦) المتغيرات الكينماتيكية المستقلة الدالة إحصائيا مرتبة تنازليا وفقا لدرجة ونسبة الأهمية

الأهمية النسبية% (نسبة المساهمة)	درجة الأهمية	المتغيرات المستقلة الدالة إحصائيا	م
100.0%	0.103	زاوية الركبة لحظة اقصي تخميد	١
85.2%	0.088	اقصىي تسارع من دفع الحائط	۲
84.8%	0.087	زاوية الفخذ لحظة اقصي تخميد	٣
84.7%	0.087	محصلة كمية الحركة لمركذ ثقل الجسم لحظة ترك الحائط	٤
79.6%	0.082	زاوية الكاحل لحظة اقصىي مد	٥
76.0%	0.078	زاوية ميل الجذع لحظة الانطلاق من الافقي	٦
73.1%	0.075	سرعة مرحلة المد	٧
65.6%	0.067	زاوية الفخذ لحظة اقصىي مد	٨
51.4%	0.053	كثلة اللاعب	٩
46.1%	0.047	محصلة سرعة مركز ثقل الجسم لحظة ترك الحائط	١.
44.7%	0.046	زاوية الجذع من الارض لحظة اقصي تخميد	11
41.1%	0.042	زاوية الركبة لحظة اقصي مد	۱۲
38.6%	0.040	مسافة المد	۱۳
34.8%	0.036	زاوية الجذع من الارض لحظة اقصي مد	١٤
32.0%	0.033	اقصىي قوة دفع من ترك الحائط	10
23.5%	0.024	زاوية الكاحل لحظة اقصىي تخميد	١٦
11.9%	0.012	زمن الوصول القصىي تسارع	١٧

يتضح من جدول (٦) والشكل البياني (٥) الخاص بنتائج تحليل الشبكة العصبية الاصطناعية – التحليل متعدد الطبقات وجود ١٧ متغير ذو ارتباط بزمن الدوران الكلي open turn وهذه المتغيرات مرتبة تتازليا حسب أهميتها ، حيث جاء متغير زاوية الركبة لحظة اقصي تخميد في الترتيب الأول لدرجة الأهمية بنسبة أهمية بلغت ١٠٠، ، في حين كان متغير زمن الوصول لاقصي تسارع في الترتيب الأخير لدرجة الأهمية بنسبة أهمية بلغت ١٠٠، %.



شکل رقم (٥)

يبين ترتيب المتغيرات الكينماتيكية المستقلة الدالة إحصائيا وفقا لنسبة الأهمية

أوضحت نتائج تحليل الشبكة العصبية الاصطناعية أن زاوية الركبة لحظة أقصى تخميد جاءت في المرتبة الأولى من حيث الأهمية النسبية (١٠٠%)، مما يبرز الدور المحوري للركبة في التحكم بمرحلة الارتداد أثناء الدوران المفتوح (Open Turn) ، وهذا يتفق مع ما أشار إليه بايتون وبارتليت – Payton & (٢٠٠٨) ها الأرتداد أثناء الدوران المفتوح (Open Turn) ، وهذا يتفق مع ما أشار إليه بايتون وبارتليت للى طاقة Bartlett دافعة عند الانطلاق من الحائط ، كما أكد أريّانو وآخرون – Arellano et al. (٢٠١٩). أن التحكم في زاوية الركبة يقلل من فقدان السرعة ويحسن كفاءة التحول من الحركة الأفقية إلى العمودية. (٢٠) (٦) وهذا يتفق أيضاً مع ما ذكرته سماح محمد (٢٠١٧) أنه من خلال تحليل الدراسات والأبحاث العلمية المرتبطة بالميكانيكا الحيوية في مجال السباحة أكدت جميعها إلى ضرورة تطبيق الأسس الميكانيكية لزوايا العمل العضلى والتي تؤديها مفاصل القوى المحركة للجسم في السباحة وهي مفاصل الذراعين والرجلين والتي يتوقف عليها نجاح الأداء الفني في السباحة . (٣: ٢٠٢)

أما المتغير الثاني وهو أقصى تسارع من دفع الحائط (85.2%)، فقد أظهر ارتباطًا قويًا بزمن الدوران، حيث أن زيادة التسارع الناتج عن الدفع يُعد مؤشرًا مباشرًا على جودة الانتقال من مرحلة التخميد إلى مرحلة الدفع ، وتشير دراسات سابقة مثل ماسون وكوسور Mason & Cossor (2001) إلى أن قوة الدفع وتسارعها تمثلان المحدد الأهم في كفاءة الأداء الحركي بالدوران ، خاصة عند السباحين ذوي المستويات العليا كذلك احتلت زاوية الفخذ لحظة أقصى تخميد (84.8%) ومحصلة كمية الحركة لمركز ثقل الجسم لحظة ترك الحائط (84.7%) مراكز متقدمة ، وهو ما يعكس التكامل بين عمل الأطراف السفلية وتحكم مركز الثقل ، حيث يوضح تور وآخرون Tor et al (2015) أن السيطرة على زاوية الفخذ أثناء التخميد تساهم في تقليل فقدان الطاقة الميكانيكية ، بينما يمثل الحفاظ على كمية الحركة لمركز الثقل العامل الأساسي في تحقيق سرعة مناسبة عند الخروج من الحائط. (١٩) (٢٩)

وبالنسبة للمتغيرات التالية مثل زاوية الكاحل لحظة أقصى مد (79.6%) وزاوية ميل الجذع لحظة الانطلاق (76.0%)، فإنها تلعب دورًا داعمًا من خلال تحسين مسار الدفع وزاوية الانطلاق، وهذا ما يوضحه بويل وآخرون Puel et al (2012) أن زاوية الجذع والكاحل تسهمان في تحديد اتجاه القوة وتوزيعها، بما ينعكس على سرعة الانزلاق بعد ترك الحائط. (٢٢)

ومن ناحية أخرى أظهرت متغيرات مثل كتلة اللاعب (%51.4) ومحصلة سرعة مركز الثقل لحظة ترك الحائط (%46.1) تأثيرًا متوسطًا، حيث أن زيادة الكتلة قد تؤثر سلبًا على التسارع ما لم تتوازن مع قوة دفع كافية ، وهو ما يتفق مع نتائج بريد ويونج Breed & Young (2003) (٨)

وأخيرًا جاءت بعض المتغيرات مثل زمن الوصول لأقصى تسارع (11.9%) في مرتبة متأخرة من حيث الأهمية النسبية، مما يعكس أن توقيت الوصول للتسارع ليس بنفس الحسم مثل زاوية المفاصل وقوة الدفع، وإنما يمثل عاملاً مساعدًا .

جدول رقم (٧) التوصيف الإحصائي في المتغيرات الكينماتيكية قيد البحث لدوران ال somer turn لمجموعة البحث ن

	• • • •	033		<i>J</i> .	•	
الدلالات الإحصائية	وحدة	المتوسط	الإنحراف	T 11	معامل	معامل
المتغيرات	القياس	الحسابى	المعياري	الوسيط	الإلتواء	التفلطح
زمن الدوران	ثانية	1.25	0.16	1.29	-0.24	-1.25
زمن مرحلة الدفع التركيب الزمني من اقصي تخميد حتي المد الكامل	ثانية	0.39	0.07	0.38	-0.03	-1.21
زاوية الكاحل لحظة اقصي تخميد	درجة	90.00	10.28	92.00	-0.52	-1.45
زاوية الركبة لحظة اقصىي تخميد	درجة	62.30	8.88	63.50	-0.27	-1.40
زاوية الفخذ لحظة اقصي تخميد	درجة	95.30	16.91	91.00	0.64	-0.30
زاوية الجذع من الارض لحظة اقصي تخميد	درجة	27.20	12.69	26.00	0.11	-1.12
زاوية الكاحل لحظة اقصي مد	درجة	153.20	6.66	150.50	0.73	-1.38
زاوية الركبة لحظة اقصىي مد	درجة	167.60	6.45	168.50	-0.26	-0.05
زاوية الفخذ لحظة اقصىي مد	درجة	169.90	5.59	171.00	-0.52	0.29
زاوية الجذع من الارض لحظة اقصي مد	درجة	13.20	6.39	13.50	-0.11	-1.86
زاوية ميل الجذع لحظة الانطلاق من الافقي	درجة	12.00	5.93	10.50	0.43	-1.19
كتلة اللاعب	کجم	48.10	11.55	48.50	0.25	-1.40
مسافة المد	متر	0.54	0.09	0.54	0.56	-0.06
سرعة مرحلة المد	متر /ثانية	1.43	0.43	1.28	1.05	4.72
محصلة سرعة مركز ثقل الجسم لحظة ترك الحائط	متر /ثانية	2.67	0.45	2.68	0.29	-0.67
محصلة كمية الحركة لمركذ ثقل الجسم لحظة ترك الحائط	كجم.متر /ثانية	71.45	38.53	56.40	1.17	3.15
اقصيي تسارع من دفع الحائط	متر /ثانية تربيع	6.18	0.94	6.26	-0.77	0.74
زمن الوصول القصي تسارع	ثانية	0.45	0.06	0.47	-0.96	0.05
اقصيي قوة دفع من ترك الحائط	نيوتن	302.06	104.80	258.43	0.53	-1.41
زمن الدوران الكلي somer turn	ثانية	1.64	0.20	1.62	-0.07	-0.98

يتضح من الجدول رقم (٧) والخاص بالتوصيف الإحصائى لعينة البحث في المتغيرات قيد البحث لدوران الله somer turn أن البيانات الخاصة بعينة البحث الكلية معتدلة وغير مشتتة وتتسم بالتوزيع الطبيعي للعينة ، حيث تتراوح قيم معامل الالتواء فيها ما بين (-٠٩٦٠ إلى ١٠١٧) وهذه القيم تقترب من الصفر ، مما يؤكد اعتدالية البيانات الخاصة بعينة البحث.

جدول رقم (٨) العلاقة بين المتغيرات الإنثربومترية قيد البحث لدوران ال somer turn و زمن الدوران الكلي

somer turn	زمن الدوران الكلي	rd or N
مستوى الدلالة	معامل الإرتباط	المتغيرات
0.684	0.148	الوزن
0.472	0.258	الطول
0.445	0.273	العمر
0.874	0.058	العضدد
0.487	0.249	الساعد
0.143	0.498	الفخذ
0.682	0.149	الساق

^{*}معنوی عند مستوی ۰.۰۰ **معنوی عند مستوی ۰.۰۱

يتضح من الجدول رقم (۸) الخاص بالعلاقة بين المتغيرات الانثريومترية قيد البحث لدوران ال somer و زمن الدوران الكلي عدم وجود علاقة ذات دلالة إحصائية بين المتغيرات الانثريومترية قيد البحث لدوران ال somer turn و زمن الدوران الكلي حيث تراوحت قيمة (ر) المحسوبة ما بين (٠٠٠٥، وهذه القيم أقل من قيمة (ر) الجدولية عند مستوى ٠٠٠٠ وعند مستوى ١٠٠٠

جدول رقم (٩) العلاقة بين المتغيرات الكينماتيكية قيد البحث لدوران ال somer turn وزمن الدوران الكلي

الا مد ا م	زمن الدوران الكلي somer turn	
المتغيرات	معامل الإرتباط	مستوى الدلالة
زمن الدوران	0.943**	0.000
زمن مرحلة الدفع التركيب الزمني من اقصي تخميد حتي المد الكامل	0.665*	0.036
زاوية الكاحل لحظة اقصي تخميد	-0.260	0.468
زاوية الركبة لحظة اقصىي تخميد	-0.325	0.360
زاوية الفخذ لحظة اقصىي تخميد	0.276	0.440
زاوية الجذع من الارض لحظة اقصي تخميد	-0.502	0.139
زاوية الكاحل لحظة اقصي مد	-0.036	0.920
زاوية الركبة لحظة اقصبي مد	-0.158	0.663
زاوية الفخذ لحظة اقصىي مد	0.698*	0.025
زاوية الجذع من الارض لحظة اقصي مد	-0.666*	0.035
زاوية ميل الجذع لحظة الانطلاق من الافقي	-0.725*	0.018

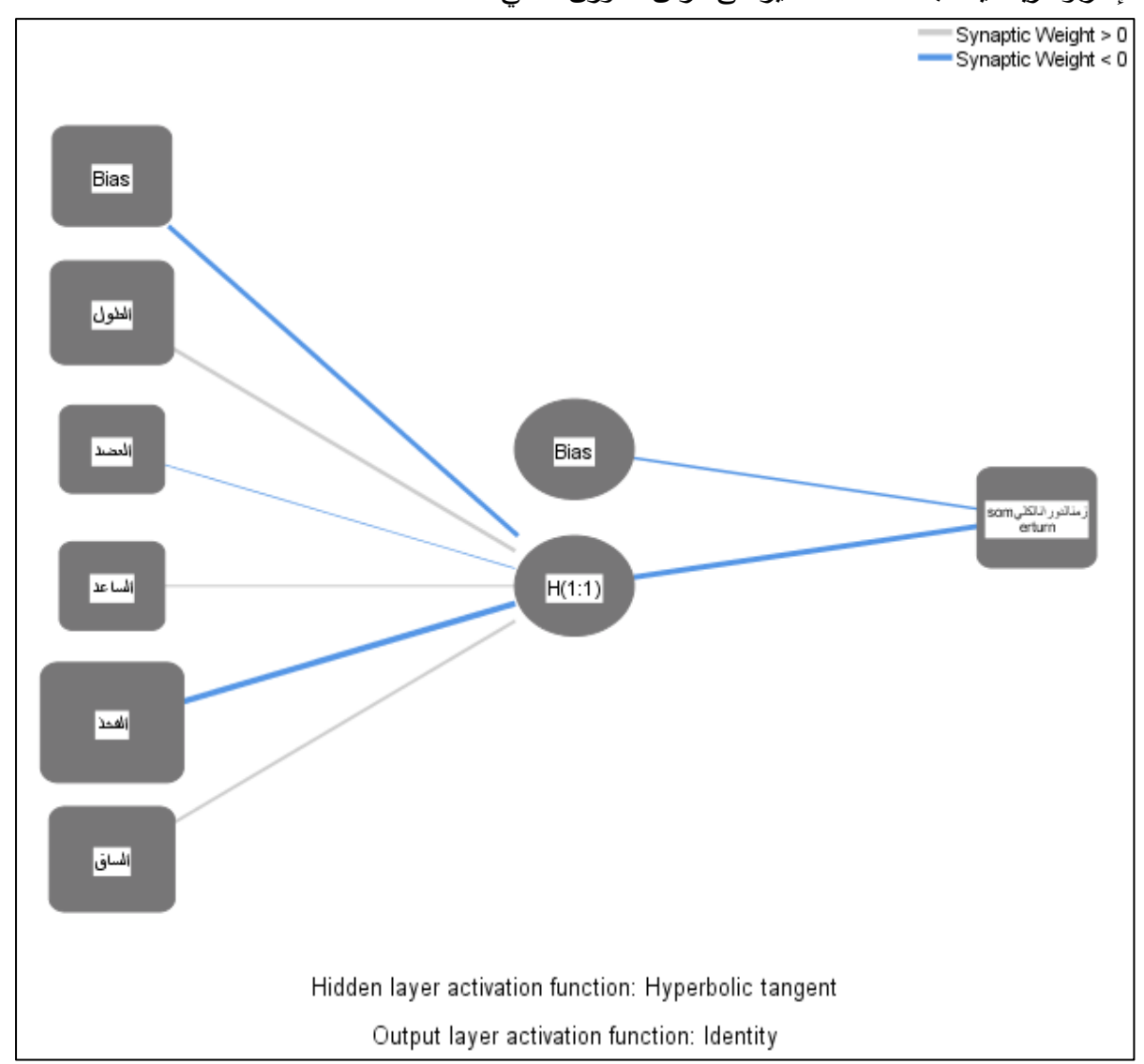
	زمن الدوران الكلي somer turn	
تغیرات	معامل الإرتباط	مستوى الدلالة
ة اللاعب	0.149	0.681
افة المد	0.110	0.762
عة مرحلة المد	-0.371	0.291
صلة سرعة مركز ثقل الجسم لحظة ترك الحائط	-0.178	0.623
صلة كمية الحركة لمركذ ثقل الجسم لحظة ترك الحائط	-0.187	0.605
مبي تسارع من دفع الحائط	-0.130	0.720
ن الوصول القصىي تسارع	0.059	0.870
مىي قوة دفع من ترك الحائط	0.029	0.936

*معنوی عند مستوی ۰.۰۰ **معنوی عند مستوی ۰.۰۱

يتضح من الجدول رقم (٩) الخاص بالعلاقة بين المتغيرات الكينماتيكية قيد البحث لدوران ال somer turn و زمن الدوران الكلي وجود علاقة ذات دلالة إحصائية بين بعض المتغيرات الكينماتيكية قيد البحث لدوران ال somer و زمن الدوران الكلي somer turn حيث تراوحت قيمة (ر) المحسوبة ما بين (١٠٠٠، ١٥٥ وهذه القيم أكبر من قيمة (ر) الجدولية عند مستوى ٠٠٠٠ وعند مستوى ١٠٠٠ حيث كانت على النحو التالي :-

- وجود علاقة عكسية بين كل من متغير (زاوية الجذع من الارض لحظة اقصى مد ، زاوية ميل الجذع لحظة الانطلاق من الافقي) و زمن الدوران الكلي somer turn .
- وجود علاقة طردية بين كل من متغير (زمن الدوران ، زمن مرحلة الدفع التركيب الزمني من اقصى تخميد حتى المد الكامل) و زمن الدوران الكلى somer turn .

- عرض النتائج الخاصة بالشبكة العصبية الاصطناعية (ANN) الناتجة من تفاعل المتغيرات الإنثربومترية قيد البحث ذات التأثير في زمن الدوران الكلي somer turn

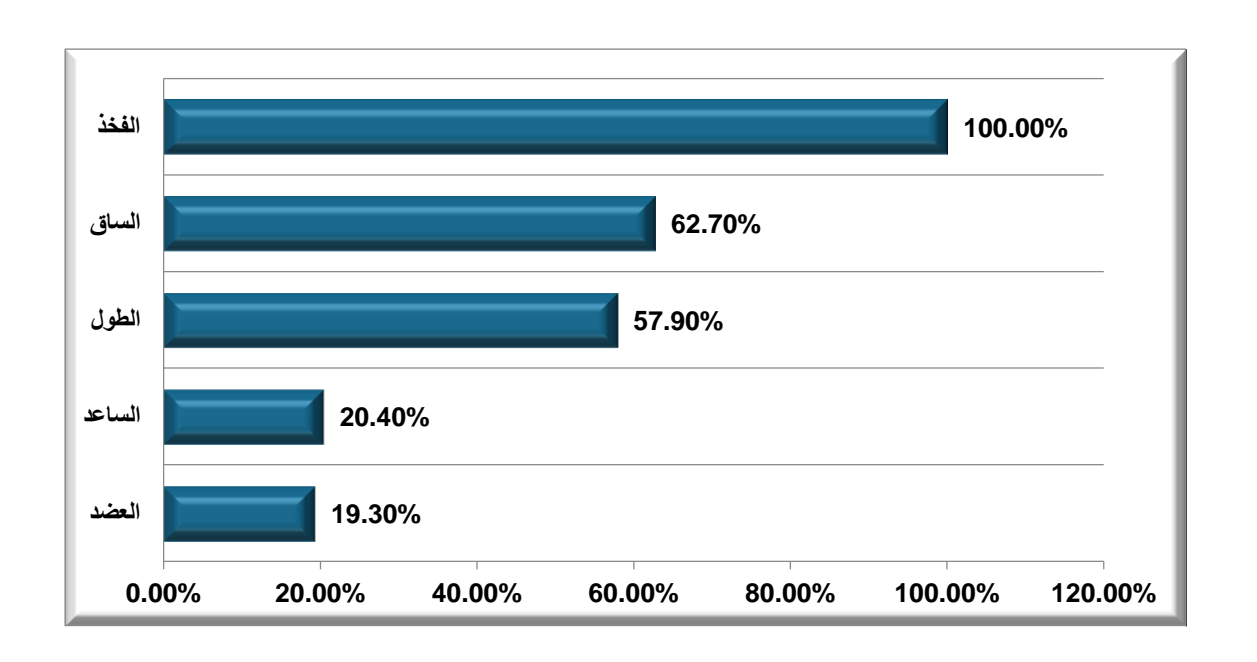


شكل رقم (٦) يوضح شكل الشبكة العصبية الناتج من تفاعل المتغيرات الإنثربومترية قيد البحث ذات التأثير في زمن الدوران الكلى somer turn

جدول (١٠) المتغيرات الإنثرومترية المستقلة الدالة إحصائيا مرتبة تتازليا وفقا لدرجة ونسبة الأهمية

الأهمية النسبية% (نسبة المساهمة)	درجة الأهمية	المتغيرات المستقلة الدالة إحصائيا	م
100.0%	0.384	الفخذ	١
62.7%	0.241	الساق	۲
57.9%	0.223	الطول	٣
20.4%	0.078	الساعد	٤
19.3%	0.074	العضد	٥

يتضح من جدول (١٠) والشكل البيانى (٧) الخاص بنتائج تحليل الشبكة العصبية الاصطناعية – التحليل متعدد الطبقات وجود ٥ متغيرات ذو ارتباط بزمن الدوران الكلي somer turn وهذه المتغيرات مرتبة تتازليا حسب أهميتها ، حيث جاء متغير الفخذ فى الترتيب الأول لدرجة الأهمية بنسبة أهمية بلغت ١٩٠٣%.

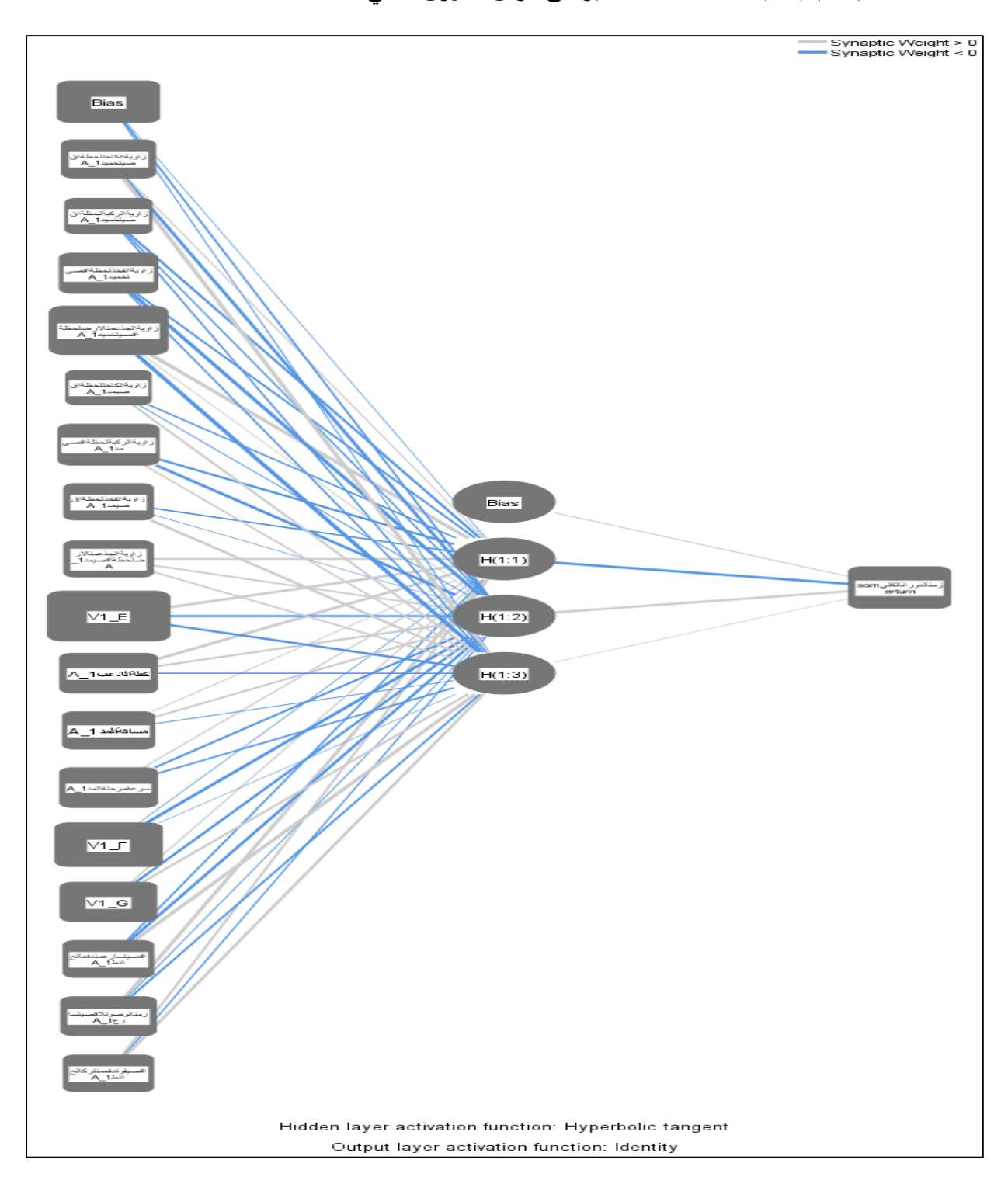


شكل رقم (٧) يبين ترتيب المتغيرات الإنثربومترية المستقلة الدالة إحصائيا وفقا لنسبة الأهمية

تشير نتائج تحليل الشبكة العصبية الاصطناعية (التحليل متعدد الطبقات) إلى أن الفخذ كان المتغير الأكثر تأثيرًا على زمن الدوران الكلى (Somer Turn) ، حيث بلغت أهميته النسبية %100، يليه الساق بنسبة (٦٢.٧%) ثم الطول (%57.9%)، بينما جاءت الأطراف العلوية (الساعد والعضد) في مراتب متأخرة (٢٠.٤%، ١٩.٣% على التوالي).

تؤكد هذه النتائج أن الأطراف السفلية، وبالأخص الفخذ، تمثل المحدد الأساسي في كفاءة الدوران ، حيث أن قوة الدفع والقدرة على التخميد تعتمد بشكل مباشر على العضلات الكبيرة للفخذ والساق، والتي تعد المحرك الرئيسي لنقل القوة إلى الحائط ، وفي هذا الصدد يشير تور وآخرون Tor et al (2015) إلى أن التحكم في زوايا الفخذ والساق يمثل العامل الأكثر حسماً في تحقيق تسارع مثالي عند الخروج من الدوران ،كما يدعم بويل وآخرون (Puel et al (2012 أن الدفع الفعّال من الحائط يرتبط ارتباطًا وثيقًا بمساهمة عضلات الأطراف السفلية الكبيرة ، لكونها المسؤولة عن إنتاج الجزء الأكبر من القوة العمودية والأفقية ، أما متغير الطول فقد ظهر كعامل وسيط (٥٧.٩%)، وهو ما يتماشى مع ما ذكره لات وآخرون . Lätt et al) من أن طول الجسم يسهم في زيادة طول الانزلاق وتقليل المقاومة المائية أثناء الخروج من الدوران، مما يمنح السباح ميزة ميكانيكية في استغلال الدفع المكتسب. (٢٩) (77)(77)

في المقابل، جاءت مساهمة الأطراف العلوية (الساعد والعضد) أقل بكثير مقاربة بالسفلية، وهو ما يشير إلى أن دورها في مرحلة الدوران يقتصر بالأساس على الموازنة والتحكم في الوضع الانسيابي بعد الدفع، بينما يظل التأثير الأكبر لتوليد القوة ناتجًا من الفخذ والساق. وهذا يتفق مع نتائج بايتون وبارتليت Payton & Bartlett (2008) التي أوضحت أن الأطراف العلوية تساهم في تحسين الاتجاه والمحافظة على الوضعية الانسيابية أكثر من مساهمتها في توليد القوة المباشرة. (٢٠) عرض النتائج الخاصة بالشبكة العصبية الاصطناعية (ANN) الناتجة من تفاعل المتغيرات الكينماتيكية قيد البحث ذات التأثير في زمن الدوران الكلي somer turn



شكل رقم (٨) يوضح شكل الشبكة العصبية الناتج من تفاعل المتغيرات الكينماتيكية قيد البحث ذات التأثير في زمن الدوران الكلي somer turn

جدول (١١) المتغيرات الكينماتيكية المستقلة الدالة إحصائيا مرتبة تنازليا وفقا لدرجة ونسبة الأهمية

الأهمية النسبية% (نسبة المساهمة)	درجة الأهمية	المتغيرات المستقلة الدالة إحصائيا	م
100.0%	0.154	زاوية ميل الجذع لحظة الانطلاق من الافقي	١
90.6%	0.139	زاوية الجذع من الارض لحظة اقصي تخميد	۲
63.3%	0.097	محصلة سرعة مركز ثقل الجسم لحظة ترك الحائط	٣
46.8%	0.072	زاوية الركبة لحظة اقصي مد	٤
41.6%	0.064	زاوية الفخذ لحظة اقصي تخميد	0
39.4%	0.061	كثلة اللاعب	٦
39.2%	0.060	سرعة مرحلة المد	٧
36.7%	0.057	محصلة كمية الحركة لمركز ثقل الجسم لحظة ترك الحائط	٨
33.9%	0.052	زمن الوصول القصىي تسارع	٩
30.1%	0.046	زاوية الكاحل لحظة اقصىي تخميد	١.
25.5%	0.039	مسافة المد	11
21.9%	0.034	اقصىي تسارع من دفع الحائط	١٢
21.0%	0.032	اقصىي قوة دفع من ترك الحائط	١٣
19.1%	0.029	زاوية الفخذ لحظة اقصىي مد	١٤
18.9%	0.029	زاوية الجذع من الارض لحظة اقصي مد	10
13.2%	0.020	زاوية الركبة لحظة اقصي تخميد	١٦
8.4%	0.013	زاوية الكاحل لحظة اقصي مد	١٧

يتضح من جدول (١١) والشكل البيانى (٩) الخاص بنتائج تحليل الشبكة العصبية الاصطناعية – التحليل متعدد الطبقات وجود ١٧ متغير ذو ارتباط بزمن الدوران الكلي somer turn وهذه المتغيرات مرتبة تنازليا حسب أهميتها ، حيث جاء متغير زاوية ميل الجذع لحظة الانطلاق من الافقي في الترتيب الأول لدرجة الأهمية بنسبة أهمية بلغت ١٠٠% ، في حين كان متغير زاوية الكاحل لحظة اقصي مد في الترتيب الأخير لدرجة الأهمية بنسبة أهمية بلغت ٨٠٤%.



شکل رقم (۹)

يبين ترتيب المتغيرات الكينماتيكية المستقلة الدالة إحصائيا وفقا لنسبة الأهمية

تشير نتائج تحليل الشبكة العصبية الاصطناعية إلى أن زاوية ميل الجذع لحظة الانطلاق من الأفقي كانت المتغير الأكثر تأثيرًا على زمن الدوران الكلي (Somer Turn) بنسبة مساهمة %100، تلاها زاوية الجذع من الأرض لحظة أقصى تخميد بنسبة (٩٠٠٦%)، ثم محصلة سرعة مركز ثقل الجسم لحظة ترك الحائط بنسبة (٣٣٠٣%). بينما جاءت المتغيرات المرتبطة بالطرف السفلي مثل زاوية الركبة والفخذ في مراتب تالية، في حين كان أقل المتغيرات تأثيرًا هو زاوية الكاحل لحظة أقصى مد بنسبة (8.4%).

هذه النتائج تبرز الدور المحوري للجذع في التحكم بفاعلية الدوران ، فزاوية ميل الجذع لحظة الانطلاق من الوضع الأفقي تحدد بشكل مباشر مسار الانزلاق اللاحق وتقليل مقاومة الماء ، حيث يوضح Streamline) في ميل الجذع يعد من أهم عوامل تحسين الانسيابية al. (2015)

(Puel et al. (2012) دراسة (2012) التخميد الفعّال التخميد الفعّال التخميد الفعّال التخميد الفعّال المركة الجذع يسهم في امتصاص القوة المرتدة من الحائط وتحويلها بكفاءة إلى دفع أمامي. (٢٩)(٢٩) من ناحية أخرى، تبرز أهمية محصلة سرعة مركز ثقل الجسم عند ترك الحائط (63.3%) ، حيث تُعد هذه القيمة انعكاسًا للتكامل بين القوة المطبقة من الأطراف السفلية والتحكم في الجذع ، وقد أوضح لات وآخرون (2010) Lätt et al. (2010)

أما المتغيرات الخاصة بالطرف السفلي مثل زاوية الركبة لحظة أقصى مد (46.8%) وزاوية الفخذ لحظة أقصى مد (46.8%) وزاوية الفخذ لحظة أقصى تخميد (41.6%) فقد أظهرت مساهمة معتبرة ، ويدعم هذا ما ذكره بايتون وبارتليت Bartlett (2008) فقد أظهراف السفلية هي المصدر الأساسي للقوة الانفجارية أثناء الدفع، لكن فاعليتها تتأثر بمدى انسجامها مع وضعية الجذع والانسيابية. (٢٠)

وبالنظر إلى المتغيرات الأقل أهمية مثل أقصى قوة دفع من ترك الحائط (%21.0) أو زاوية الكاحل لحظة أقصى مد(%8.4) ، يتضح أن مجرد زيادة القوة أو زوايا المفصل الطرفي لا تكفي لتحسين زمن الدوران ما لم يصاحبها تحكم محوري بالجذع وسرعة مثالية لمركز الثقل.

الإستنتاجات:

- 1. يتضح من نتائج تحليل الشبكة العصبية الاصطناعية التحليل متعدد الطبقات وجود ارتباط بين المتغيرات الأنثروبومترية (أطوال وصلات الجسم) وزمن الدوران الكلي open turn وهذه المتغيرات مرتبة تتازليا حسب أهميتها ، حيث كانت متغيرات الطرف العلوى الأكثر أهمية بالنسبة للزمن الكلي للدوران حيث جاء متغير الساعد في الترتيب الأول لدرجة الأهمية بنسبة أهمية بلغت ٧٠ % ، في حين كان متغير الساق في الترتيب الأخير لدرجة الأهمية بنسبة أهمية بلغت ٧٠ % ،
- ٧. يتضح من نتائج تحليل الشبكة العصبية الاصطناعية التحليل متعدد الطبقات وجود ١٧ متغير من المتغيرات الكينماتيكية مرتبط بزمن الدوران الكلي open turn وهذه المتغيرات مرتبة تتازليا حسب أهميتها ، وكان أهم تلك المتغيرات تأثيراً في زمن الدوران الدوران open turn متغير زاوية الركبة لحظة اقصي تخميد في الترتيب الأول لدرجة الأهمية بنسبة أهمية بلغت ١٠٠% ، يليه متغير أقصى تسارع من دفع الحائط بنسبة أهمية ٨٥.٢ % ، يليه زاوية الفخذ لحظة أقصى تخميد بنسبة ٨٤.٨ % ، ثم محصلة كمية الحركة لمركز ثقل الجسم لحظة ترك الحائط بنسبة ٨٤. % ثم تأت بعد ذلك باقي المتغيرات بنسب أهمية مختلفه وصولاً إلى متغير زمن الوصول الاقصي تسارع والذي جاء في الترتيب الأخير لدرجة الأهمية بنسبة أهمية بلغت ١١.٩%.

د. محمد عبد العزيز عرفة

- ٣. يتضح من نتائج تحليل الشبكة العصبية الاصطناعية التحليل متعدد الطبقات وجود ارتباط بين المتغيرات الانثربومترية (أطوال وصلات الجسم) وزمن الدوران الكلى somer turn وهذه المتغيرات مرتبة تتازليا حسب أهميتها ، حيث كانت متغيرات الطرف السفلي للجسم هي الأكثر أهمية بالنسبي للزمن الكلي لدوران somer turn حيث جاء متغير الفخذ في الترتيب الأول لدرجة الأهمية بنسبة أهمية بلغت ١٠٠% ، تلاه متغير طول الساق بنسبة أهمية بلغت ٦٢.٧٠ ، في حين كان متغير العضد في الترتيب الأخير لدرجة الأهمية بنسبة أهمية بلغت
- ٤. يتضح من نتائج تحليل الشبكة العصبية الاصطناعية التحليل متعدد الطبقات وجود ١٧ متغير من المتغيرات الكينماتيكية مرتبط بزمن الدوران الكلي somer turn وهذه المتغيرات مرتبة تتازليا حسب أهميتها ، وكانت أهم تلك المتغيرات أهمية بالنسبة لزمن دوران somer turn متغير زاوية ميل الجذع لحظة الانطلاق من الافقى في الترتيب الأول لدرجة الأهمية بنسبة أهمية بلغت ١٠٠ % ، يليه متغير زاوية الجزع من الأرض لحظة أقصى تخميد بنسبة أهمية بلغت ٩٠.٦٠ % ، يليه متغير محصلة سرعة مركز ثقل الجسم لحظة ترك الحائط بنسبة أهمية بلغت ٦٣.٣ في حين كان أقل تلك المتغيرات من حيث درجة الأهمية بزمن الدوران متغير زاوية الكاحل لحظة اقصى مد والذي جاء في الترتيب الأخير من حيث درجة الأهمية بنسبة أهمية بلغت ٨.٤%.

التوصيات:

- ١. ضرورة الإهتمام بالنواحي الإنثروبومترية والتي قد يكون لها تأثير كبير في إختيار نوع الدوران المناسب للسباح وفقاً لتلك الخصائص وتساعده في تحسين زمن الدوران وبالتالي قطع مسافة السباق في أقل زمن ممكن
- الإهتمام بالخصائص الكينماتيكية المرتبطة ارتباطا كبيراً بزمن الدوران للإنتقال من سباحة الظهر إلى سباحة الصدر سواء كان ذلك في دوران ال open turn أو دوران ال somer turn وفقاً لدرجة الأهمية الموضحة من النتائج السابقة.
- ٣. إجراء العديد من الدراسات للتعرف على الخصائص المورفولوجية والكينماتيكية المرتبطة بالدوران لسباحة المتتوع أو السباحات الأخرى والتي يكون لها تأثير كبير في تحسين زمن الدوران والزمن الكلى للسباق وخاصة في سباقات ٢٠٠ م ، ٤٠٠ م ، ١٥٠٠م ،١٥٠٠ م التي يكون للدوران عامل كبير فيها في حسم نتيجة السباق.

أولاً: المرجع العربية:

1. أبو العلا أحمد عبد الفتاح: تدريب السباحة للمستويات العليا، دار الفكر العربي، القاهرة. (١٩٩٤)

حسام محى الأيوبي (٢٠٢١) : فن تعليم وتدريس رياضة السباحة ، مركز الكتاب للنشر ، القاهرة .

٣. سماح محمد محمد (٢٠١٧) : الإتجاهات الحديثة في تعليم وتدريب السباحة ، ضمن متطلبات الترقى لدرجة أستاذ ، كلية التربية الرياضية للبنات بالجزيرة ، جامعة حلوان .

3. فييصل العباشي، على : "المبادئ الأساسية لتعليم السباحة" ، دار الامل ، جامعة بغداد – اليرموك. الدرديري (٢٠٠٠)

ثانياً - المراجع الأجنبية:

- Alves, M., Silva, A., & : How anthropometrics of young and adolescent swimmers relate to performance: A systematic review. International Journal of Environmental Research and Public Health, 19(5), 2543. https://doi.org/10.3390/ijerph19052543
- 6. Arellano, R., Brown, P.,
 Cappaert, J., & Nelson,
 R. C. (2019).
 Analysis of 50-m, 100-m, and 200-m freestyle swimmers at the 1992 Olympic Games. Journal of Applied Biomechanics, 35(3), 207–215. https://doi.org/10.1123/jab.2018-0207
- 7. Blanksby, B.,
 Gathercole, D. G., &
 Marshall, R. N. (1996)
 Force Plate And Video Analysis Of The Tumble Turn By Age-Group Swimmers. The Journal Of Swimming Research, 11(Fall), 40–45.
- 8. Breed, R. V., & Young,
 W. B. (2003).
 : The effect of a resistance training program on the grab, track and swing starts in swimming. Journal of Sports Sciences, 21(3), 213–220. https://doi.org/10.1080/0264041031000071000
- 9. Chainok, P., De Jesus,
 K., Mourão, L., Fonseca,
 P. F. P., Zacca, R.,
 Fernandes, R. J., &
 Vilas-Boas, J. P. (2022).
 Biomechanical Features Of Backstroke To Breaststroke Transition
 Techniques In Age-Group Swimmers. Frontiers In Sports And
 Active Living, 4. Https://Doi.Org/10.3389/Fspor.2022.802967
- 10. Chainok, P., Machado,
 L., De Jesus, K.,
 Abraldes, J. A.,
 Borgonovo-Santos, M.,
 Fernandes, R. J., &
 Backstroke To Breaststroke Turning Performance In Age-Group
 Swimmers: Hydrodynamic Charact-eristics And Pull-Out
 Strategy. International Journal Of Environmental Research And
 Public Health, 18(4), 1–11.

	Vilas-Boas, J. P(2021).		. Https://Doi.Org/10.3390/Ijerph18041858
11.	Fiori, J. M., et al. (2022).	:	The impact of a swimming training season on performance and kinematics in young swimmers. Frontiers in Sports, 3, 799690. https://doi.org/10.3389/fspor.2022.799690
12.	González-Ravé, J. M., et al. (2025).	:	Biomechanical, physiological and anthropometric determinants of backstroke swimming performance: A systematic review. Sports Medicine - Open, 11(1), 68. https://doi.org/10.1186/s40798-025-00868-z
13.	Jürgen Perl (2017)	:	Artificial Neural Networks in Sports: New Concepts and Approaches, International Journal of Performance Analysis in Sport, 03 Apr 2017
14.	Jürgen Perl, PeterDauscher(2006)	:	Dynamic Pattern Recognition in Sport by Means of Artificial Neural Networks, Institute of Computer Science, Johannes Gutenberg University, 2006.
15.	Keiner, M., Wirth, K., Fuhrmann, S., Kunz, P., Hartmann, H., & Haff, G. G. (2021).	:	The influence of upper- and lower-body maximum strength on swim block start, turn, and overall swim performance in sprint swimming. Journal of Strength and Conditioning Research, 35(4), 1041–1048. https://pubmed.ncbi.nlm.nih.gov/31425457
16.	Lätt, E., Jürimäe, J., Haljaste, K., Cicchella, A., & Purge, P. (2010).	:	Physical development and swimming performance during biological maturation in young swimmers. Pediatric Exercise Science, 22(2), 236–253. https://doi.org/10.1123/pes.22.2.236
17.	Lätt, E., Jürimäe, J., Mäestu, J., Purge, P., Rämson, R., Haljaste, K., Keskinen, K. L., Rodríguez, F. A., & Jürimäe, T. (2010).	:	Physiological, biomechanical and anthropometrical predictors of sprint swimming performance in adolescent swimmers. Journal of Sports Science & Medicine, 9(3), 398–404. https://www.ncbi.nlm.nih.gov/pmc/articles/PMC3761703/
18.	Lyttle, A., & Benjanuvatra, N. (2006)	:	Optimising Swim Turn Performance [Electronic Version].Coache's Information Service
19.	Mason, B., & Cossor, J. (2001).	:	Swim turn performances at the Sydney 2000 Olympic Games. In: Biomechanics Symposia. University of San Francisco.
20.	Payton, C., & Bartlett,	:	Biomechanical Evaluation of Movement in Sport and Exercise:

Swimming. Routledge.

R. (2008).

مجلة تطبيقات علوم الرياضة

Vukadinović Jurišić, M., & Obradović, J. (2023).

21. Peulić, J., Obradović, A., : The influence of anthropometric characteristics on swimming speed in adolescent swimmers. Equilibrium. Quarterly Journal of Sport Sciences, 15(2), 33–40. https://doi.org/10.31382/eqol.231204

22. Puel, F., Hellard, P., & Seifert, L. (2012).

: Analysis of wall push-offs in competitive swimming turns using force plates and kinematic data. Journal of Sports Sciences, 30(2), 115–122. https://doi.org/10.1080/02640414.2011.624539

23. Puel, F.; Morlier, J.; Avalos, M.; Mesnard, M.; Cid, M.; Hellard, P (2012)

"3D kinematic and dynamic analysis of the front crawl tumble turn in elite male swimmers", J. Biomech, vol 45, p 510-515

Rodeo (2015)

24. Riewald, Scott, and Scott: Science of swimming faster. Human Kinetics.

25. Saputra, R., & Bismar, H. (2020).

: Effect of arm power and leg explosive power on 20-meter breaststroke swimming speed. Journal of Coaching in Sport, Education, and Health, 5(1), 11–17. https://jurnal.sainsglobal.com/index.php/jc/article/view/1581

26. Slawson, S., Conway, P., Justham, L., Le Sage, T., & West, A. (2010)

Dynamic Signature For Tumble Turn Performance In Swimming. Procedia Engineering, 2(2), 3391–3396.

Https://Doi.Org/10.1016/J.Proeng.2010.04.163.

27. Stewart G. Trost et al, Weng-Keen Wong, Karen A. Pfeiffer (2012) : Artificial Neural Networks to Predict Activity Type and Energy Expenditure in Youth, Med Sci Sports Exerc. 2012 September; 44(9): 1801-1809.

28. Suzana M. Pereira, Sónia Vilar, Pedro Gonçalves, Sílvia Fernandes, Ricardo Fernandes, Hélio Roesler, João Paulo Vilas-Boas (2011)

: Electromyographicanalysis Of The Flip Turn Technique, Xxv Isbs .Symposium 2007

29. Tor, E., Pease, D. L., & Ball, K. A. (2015).

: Key parameters of the swimming tumble turn in elite backstroke swimmers. Sports Biomechanics, 14(4), 351–364. https://doi.org/10.1080/14763141.2015.1084033

ثالثاً: مراجع شبكة الإنترنت

30. /https://mohammedalarda.com/ الذكاء - الاصطناعي - و الشيكات - العصيبة

ملخص البحث

الأهمية النسبية لبعض المتغيرات الأنثروبومترية والكينماتيكية لأسلوبي الانتقال من سباحة الظهر إلى سباحة الصمية المتنوع وعلاقتها بزمن الدوران بدلالة الشبكات العصبية الاصطناعية (ANN)

د. محمد عبدالعزيز عرفه محمد سالم مدرس بقسم الرياضات المائية . كلية علوم الرياضة للبنين . أبو قير . جامعة الإسكندرية

يهدف هذا البحث إلى التعرف على الأهمية النسبية لبعض المتغيرات الإنثروبومترية والكينماتيكية لأسلوبي الانتقال من سباحة الظهر إلى سباحة الصدر لسباحي المتنوع وعلاقتها بزمن الدوران وذلك بدلالة الشبكات العصبية الاصطناعية (ANN) ، واستخدم الباحث المنهج الوصفي بالأسلوب المسحى القائم على التحليل البيوميكانيكي لمناسبه لطبيعة البحث ، واشتمل مجتمع البحث على سباحي نادى سموحة الناشئين المرجلة السنية (13 – 14 سنة) مواليد ٢٠١٠ / ٢٠١١ ، وتم اختيار عينة الدراسة بالطريقة العمدية من سباحي المتتوع المرحلة السنية (13 – 14 سنة) وقوامها ١٠ سباحين ممن تنطبق عليهم الشروط، وقام الباحث بإجراء القياسات الإنثروبومترية، وكذلك اجراءات التصوير والتحليل البيوميكانيكي لاستخراج المتغيرات الكينماتيكية ، وكانت أهم النتائج باستخدام تحليل الشبكة العصبية الاصطناعية - التحليل متعدد الطبقات ، وجود ارتباط بين المتغيرات الأنثروبومترية (أطوال وصلات الجسم) والكينماتيكية وزمن الدوران الكلي open turn وهذه المتغيرات مرتبة تتازليا حسب أهميتها ، فالنسبة للمتغيرات الإنثروبومترية كانت متغيرات الطرف العلوى الأكثر أهمية بالنسبة للزمن الكلي للدوران وأكثرها متغير الساعد بنسبة أهمية بلغت ١٠٠% ، وبالنسبة المتغيرات الكينماتيكية كان أهم تلك المتغيرات متغير زاوية الركبة لحظة اقصى تخميد في الترتيب الأول لدرجة الأهمية بنسبة أهمية بلغت ١٠٠٠% ، وفي دوران Somer turn أظهرت النتائج أيضا وجود ارتباط بين المتغيرات الانثربومترية (أطوال وصلات الجسم) والكينماتيكية وزمن الدوران ،وكانت متغيرات الطرف السفلي للجسم هي الأكثر أهمية بالنسبة للزمن الكلى لدوران Somer turn حيث جاء متغير الفخذ في الترتيب الأول لدرجة الأهمية بنسبة أهمية بلغت ١٠٠% ، وبالنسبة للمتغيرات الكينماتيكية كـان أهم تلك المتغيرات أهميـة بالنسبة لزمن دوران Somer turn متغير زاوية ميل الجذع لحظة الانطلاق من الافقى في الترتيب الأول لدرجة الأهمية بنسبة أهمية بلغت ١٠٠%.

الكلمات المفتاحية: المتغيرات الإنثروبومترية - المتغيرات الكينماتيكية - زمن الدوران - الشبكات العصبيه الاصطناعيه ANN

Abstract

The Relative Importance of Selected Anthropometric and Kinematic Variables for the Transition from Backstroke to Breaststroke in Individual Medley Swimmers and Their Relationship with Turn Time Using Artificial Neural Networks (ANN)

Dr. Mohamed Abdel Aziz Arafa Mohamed Salem

Lecturer, Department of Aquatic Sports, Faculty of Sport Sciences for Men, Abu Qir, Alexandria University

The aim of this research was to identify the relative importance of selected anthropometric and kinematic variables related to the transition from backstroke to breaststroke in individual medley swimmers and their relationship with total turn time, as determined by Artificial Neural Networks (ANN). The researcher employed the descriptive survey method based on biomechanical analysis, which was suitable for the nature of the study.

The research population consisted of junior swimmers from Smouha Sporting Club aged 13-14 years (born in 2010–2011). The study sample was deliberately selected from individual medley swimmers within this age group, comprising 10 swimmers in who met the inclusion criteria. Anthropometric measurements were conducted, along with biomechanical video analysis to extract the relevant kinematic variables.

The main findings were obtained using artificial neural network analysis – multilayer analysis indicated significant correlations between anthropometric variables (body segment lengths), kinematic variables, and total open-turn time. Among the anthropometric variables, the upper limb measurements showed the greatest importance for total turn time, with the forearm variable ranking first with a relative importance of 100%. Regarding kinematic variables, the knee angle at the moment of maximum damping was found to be the most important, also with 100% relative importance.

In the somersault turn (somer turn), the results also revealed significant relationships between anthropometric and kinematic variables and total turn time. The lower limb variables were the most influential, with the thigh length ranking first with 100% relative importance. Among the kinematic variables, the trunk inclination angle at the moment of departure from the horizontal position ranked first in importance, with 100% relative importance.

Keywords: Anthropometric variables – Kinematic variables – Turn time - Artificial Neural Networks